

# РАСПАД ЦЕНТРИРОВАННОЙ ВОЛНЫ СЖАТИЯ ПРАНДТЛЯ — МАЙЕРА В СТАЦИОНАРНОМ ПОТОКЕ ГАЗА

А. В. Омельченко, В. Н. Усков

Балтийский государственный технический университет, 198005 Санкт-Петербург

Рассмотрен случай распада разрыва в сингулярной точке центрированной волны сжатия. Приводятся аналитические решения, позволяющие определить тип исходящего из точки распада отраженного разрыва и границы областей параметров, в которых существует решение задачи.

**Введение.** Задача о распаде произвольного стационарного разрыва в плоском сверхзвуковом равномерном потоке совершенного невязкого газа является одной из традиционных в сверхзвуковой газовой динамике. Поставленная впервые Л. Д. Ландау [1], она до сих пор привлекает к себе внимание исследователей [2–5].

В данной работе рассматривается частный случай задачи — распад разрыва в сингулярной точке центрированной волны сжатия. На основе анализа изомах на плоскости интенсивностей волн [4, 6] получены аналитические решения, позволяющие определить тип исходящего из точки распада отраженного разрыва и границы областей исходных параметров, в которых существует решение задачи, а также оптимальные волны для различных параметров задачи [6].

Полученные решения носят не только теоретический, но и прикладной характер и могут быть использованы при газодинамическом проектировании сверхзвуковых воздухозаборников, аппаратов струйных технологий и других технических объектов.

1. Рассматривается центрированная волна сжатия Прандтля — Майера (рис. 1) в потоке совершенного газа с известными значениями числа Маха  $M$  и показателя адиабаты  $\gamma$ . За интенсивность  $J_1$  волны 1 принимается отношение статических давлений за волной  $p_1$  и до волны  $p$  ( $J_1 = p_1/p$ ). Модуль угла поворота потока в простой волне определяется с помощью известных функций Прандтля — Майера:

$$\beta_1(M, J) = |\omega(M_1) - \omega(M)|. \quad (1.1)$$

Связь чисел Маха до волны  $M$  и за волной  $M_1$  устанавливается с помощью общего для изоэнтропных  $i$  и ударных  $j$  волн соотношения [6]

$$\mu/\mu_1 = J/E \quad (\mu = 1 + \varepsilon(M^2 - 1), \quad E = \rho/\rho_1, \quad \varepsilon = (\gamma - 1)/(\gamma + 1)). \quad (1.2)$$

Значения  $E$  и  $J$  связаны адиабатами Рэнкина — Гюгонио на  $j$ -волнах и Лапласа — Пуассона на  $i$ -волнах:

$$E^{(j)} = (J + \varepsilon)/(1 + \varepsilon J), \quad E^{(i)} = J^{1/\gamma}. \quad (1.3)$$

Следовательно, значение  $M_1$  в (1.1) определяется с учетом (1.2), (1.3) из формулы

$$\mu_1 = \mu J^{-1/\eta} \quad (\eta = (1 + \varepsilon)/2\varepsilon). \quad (1.4)$$

Условие  $M_1 \geq 1$  ограничивает значения интенсивности волны сжатия и угла поворота потока в волне величинами  $J_*$  и  $\beta_*$ , рассчитываемыми по формулам

$$J_*(M) = \mu^\eta, \quad \beta_*(M) = \omega(M). \quad (1.5)$$

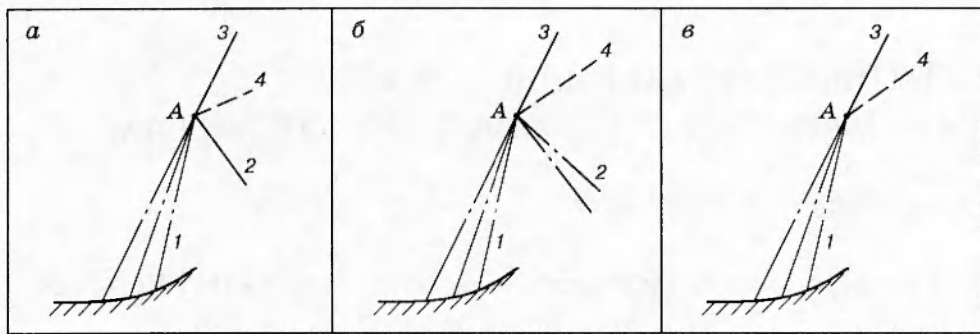


Рис. 1

Центр волны сжатия (точка  $A$  на рис. 1) является сингулярной точкой, в которой имеет место распад волны [1]. Распад сопровождается образованием исходящих из точки  $A$  отраженного разрыва 2 и результирующего скачка уплотнения 3, имеющих различные направления. На рис. 1 направления главного (результирующего) скачка уплотнения 3 и волны сжатия 1 совпадают, следовательно, показатели направления  $\chi_i$  [4] у них одинаковые ( $\chi_1 = \chi_3 = +1$ ). Отраженный разрыв имеет противоположное направление ( $\chi_2 = -1$ ) и может быть как скачком уплотнения ( $\lambda_2^{(j)} = \text{sign}\Lambda = +1$ ,  $\Lambda = \ln J$ ) (рис. 1, а), так и центрированной волной разрежения ( $\lambda_2^{(i)} = -1$ ) (рис. 1, б). В частном случае отраженный разрыв может отсутствовать (распад волны без отражения) (рис. 1, в).

Задача о распаде разрыва ставится следующим образом: в потоке с  $M$  и  $\gamma$  по заданному значению интенсивности  $J_1$  центрированной волны сжатия требуется определить интенсивности исходящих из точки  $A$  разрывов. Решение строится на основе традиционных условий динамической совместности на тангенциальном разрыве 4, исходящем из точки  $A$ , которые приводят к системе уравнений (системе распада) относительно интенсивности  $J_3$  сильного скачка уплотнения 3, а также интенсивности  $J_2$  отраженного разрыва 2:

$$J_1 J_2 = J_3; \quad (1.6)$$

$$\beta_1(M, J_1) + \psi_2 \beta_2(M_1, J_2) = \beta_3(M, J_3). \quad (1.7)$$

Показатель угла поворота  $\psi = 1$ , если поток в волне поворачивается против часовой стрелки, и  $\psi = -1$  в противном случае. Положительные и отрицательные значения величин  $\psi$ ,  $\lambda$ ,  $\chi$  связаны простым соотношением [4]

$$\psi = \lambda \chi. \quad (1.8)$$

Следовательно,  $\psi_1 = \psi_3 = 1$ , в отраженной волне разрежения  $\psi_2^i = 1$  (рис. 1, б), а на скачке уплотнения  $\psi_2^j = -1$  (рис. 1, а).

Модуль угла  $\beta_2$  поворота потока в отраженной волне разрежения рассчитывается с помощью формулы (1.1) по числам Маха  $M_1$  за волной сжатия и  $M_2$  за отраженной волной. Значение  $M_2$  выражается через  $J_2$  по формуле (1.4) с соответствующей заменой индексов.

Если отраженный разрыв является скачком уплотнения, то угол  $\beta_2$  находится из соотношения

$$\beta(M, J) = \arctg \left[ \sqrt{\frac{J_m - J}{J + \varepsilon}} \frac{(1 - \varepsilon)(J - 1)}{J_m + \varepsilon - (1 - \varepsilon)(J - 1)} \right] \quad (J_m = (1 + \varepsilon)M^2 - \varepsilon) \quad (1.9)$$

по  $M_1$  и  $J = J_2$ . При этом  $M_1$  выражается через параметры  $M$  и  $J_1$  из (1.2) с учетом первой из формул (1.3).

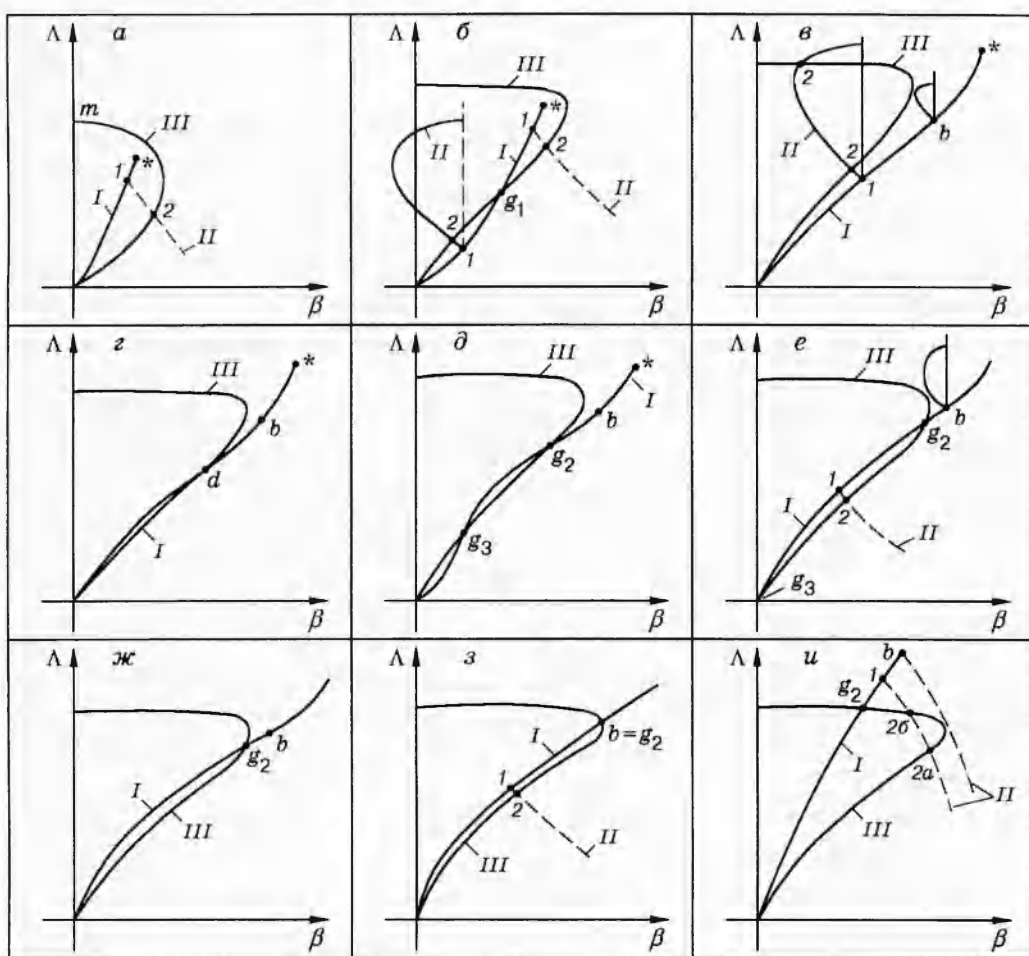


Рис. 2

Соотношение (1.9) позволяет также по заданным значениям  $M$  и  $J = J_3$  вычислить угол поворота  $\beta_3$  на результирующем скачке уплотнения 3.

Задача исследования состоит в определении границ областей исходных параметров  $(M, J_1, \gamma)$ , в которых реализуются отраженные разрывы различных типов, границ областей отсутствия решения поставленной задачи, а также в нахождении интенсивностей оптимальных волн [6].

2. Анализ решения системы распада (1.6), (1.7) удобно производить на плоскости интенсивностей волн  $\Lambda = \ln J$ ,  $\beta$  [4, 6] (рис. 2). Линии постоянных значений чисел Маха (изомахи) на этой плоскости строятся на основе зависимостей (1.1), (1.4), (1.9). Изомаху скачка уплотнения часто называют сердцевидной кривой. На рис. 2 кривые I–III — изомахи волны сжатия, отраженного и главного скачков уплотнения соответственно. Точки 1 на изомахе I отвечают заданному значению  $J_1$  и имеют координаты  $\Lambda_1, \beta_1$ . Штриховые линии II на рис. 2 изображают отраженные разрывы 2 (см. рис. 1) и представляют в соответствии с формулой (1.8) либо правую ветвь волны разрежения, либо левую ветвь сердцевидной кривой. Они строятся в системе координат с началом в точке 1 на изомахе I (рис. 2) и описываются формулами (1.1), (1.4) с заменой в них индекса 1 на 2, а  $M$  на  $M_1$  в первом случае или формулой (1.9) при  $M = M_1$  и  $J = J_2$  во втором.

Точка 2 (рис. 2) пересечения линий II и III представляет графическое решение системы (1.6), (1.7). Ее координаты на сердцевидной кривой III определяют интенсивность

$J_3$  главного скачка уплотнения и угол  $\beta_3$  поворота потока на нем, а координаты  $\Lambda_2$  и  $\beta_2$  в системе координат с началом в точке 1 соответствуют этим же характеристикам отраженного разрыва.

На рис. 2 приведены возможные варианты решения задачи при различных значениях исходных параметров  $M$  и  $J_1$  и постоянном значении  $\gamma$ . Так, рис. 2, а отвечает решению с отраженной волной разрежения, а точка 2 на рис. 2, б — отраженному скачку уплотнения. Точки  $g_i$  пересечения изомах I и III на рис. 2, б, д иллюстрируют распад волны сжатия без отраженного разрыва ( $J_2 = 1$ ,  $\beta_2 = 0$ ).

Качественный анализ рис. 2 показывает, что решение зависит от положения точки 1 относительно кривой III. В случае слабой волны сжатия взаиморасположение изоэнтропических линий I и сердцевидных кривых III определяется значениями производных  $\partial^k \Lambda / \partial \beta^k$   $k$ -го порядка в начале координат, найденных с использованием зависимостей (1.1), (1.4), (1.9) при  $J_3 \rightarrow 1$ ,  $J_1 \rightarrow 1$ . Из анализа этих производных видно, что линии I и III в начале координат при любых  $M$  имеют второй порядок касания, а при

$$M_{F_i} = \sqrt{\frac{2}{5 - 3\gamma} [(3 - \gamma) \mp \sqrt{\gamma^2 - 1}]} \quad (i = 1, 2) \quad (2.1)$$

у них совпадают и третий производные. При этом в диапазоне  $M \in [1, M_{F_1}] \cup [M_{F_2}, \infty)$   $\partial^3 \Lambda_3 / \partial \beta_3^3 < \partial^3 \Lambda_1 / \partial \beta_1^3$ , а в диапазоне  $M \in [M_{F_1}, M_{F_2}]$  имеет место обратное неравенство. Это означает, что в первом случае распад слабой волны сжатия ( $J_1 \approx 1$ ) сопровождается образованием отраженной волны разрежения, а во втором отраженный разрыв является скачком уплотнения.

Зависимости  $M_{F_1}(\gamma)$  и  $M_{F_2}(\gamma)$  приводятся на рис. 3 (кривые 1 и 2). Ранее они были получены в [7] при решении задачи о взаимодействии слабых возмущений со скачком уплотнения и в [4] при анализе свойств изомах на плоскости  $\beta, \Lambda$ .

С увеличением  $J_1$  положение точки 1 относительно кривой III (см. рис. 2) существенно зависит не только от значений  $M$  и  $\gamma$ , но и от интенсивности  $J_1$  центрированной волны сжатия.

3. Приведенный в п. 2 анализ изомах и результаты численного решения системы распада (1.6), (1.7) показывают, что при  $M < M_{F_1}$  изомаха I волны сжатия целиком располагается внутри сердцевидной кривой III и для любого значения  $J_1 \in [1, J_*(M)]$  отраженный разрыв 2 является центрированной волной разрежения (см. рис. 1, б). В этом диапазоне  $M$  система распада принимает вид

$$J_3 = J_1 J_2, \quad \omega(M) - 2\omega(M_1) + \omega(M_2) = \beta^{(j)}(M, J_3), \quad \left(\frac{\mu}{\mu_1}\right)^\eta = J_1, \quad \left(\frac{\mu}{\mu_2}\right)^\eta = J_3. \quad (3.1)$$

Здесь  $M_2$  — число Маха за отраженной волной разрежения 2.

При  $M_{F_1} < M < M_s$  нижняя часть изомахи I, которой соответствует диапазон интенсивностей волны сжатия  $J_1 \in [1, J_{g1}]$ , располагается вне сердцевидной кривой III (рис. 2, б). В этом диапазоне  $J_1$  отраженный разрыв является скачком уплотнения (рис. 1, а), а соответствующая этим  $J_1$  система уравнений (1.6), (1.7) имеет вид

$$J_3 = J_1 J_2, \quad \left(\frac{\mu}{\mu_1}\right)^\eta = J_1, \quad \omega(M) - \omega(M_1) - \beta^{(j)}(M_1, J_2) = \beta^{(j)}(M, J_3). \quad (3.2)$$

При  $J_1 = J_{g1}(M)$  распад волны сжатия происходит без отражения (рис. 1, в), а в диапазоне  $J_1 \in [J_{g1}, J_*]$  вновь реализуется отраженная волна разрежения. Для определения  $J_{g1}$  в формулах (3.1) или (3.2) надо положить  $J_2 = 1$ , что приводит к следующей системе уравнений относительно  $J_{g1}$  и  $\beta_{g1}$ :

$$\omega(M) - \omega(M_1) = \beta^{(j)}(M, J_{g1}), \quad \mu_1 = \mu J_{g1}^{-1/\eta}. \quad (3.3)$$

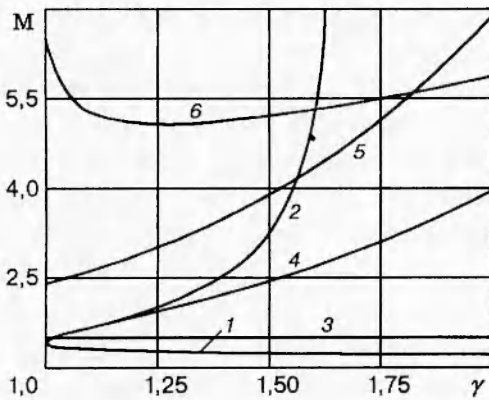


Рис. 3

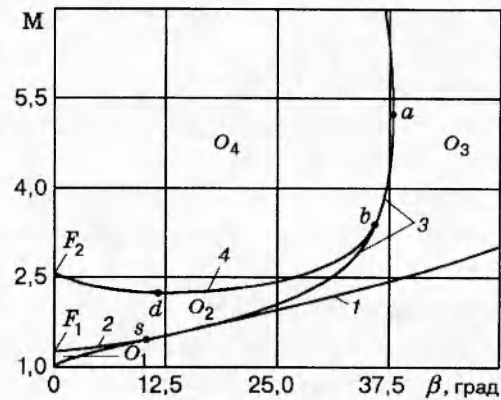


Рис. 4

Функции  $\beta_*(M)$  и  $\beta_{g1}(M)$  (кривые 1 и 2 на рис. 4) имеют точку касания при  $M = M_s$ . В этой точке  $M_1 = M_2 = 1$ ,  $J_2 = 1$ ,  $\omega(M_1) = \omega(M_2) = 0$ , и из (3.2) вытекает уравнение для определения  $M_s$ :

$$\omega(M) = \beta^{(j)}(M, J_3), \quad J_3 = \mu^\eta. \quad (3.4)$$

Зависимость  $M_s(\gamma)$  приведена на рис. 3 (кривая 3).

Таким образом, в диапазоне чисел Maxa  $M \in [M_{F_1}, M_s]$  при  $J_1 \in [1, J_{g1}]$  отраженный разрыв 2 является скачком уплотнения (область  $O_2$  на рис. 4), а при  $J_1 \in [J_{g1}, J_*]$  — волной разрежения (область  $O_1$ ). Разделяющая области  $O_1$  и  $O_2$  кривая 2 соответствует распаду волны сжатия без отражения.

При  $M \in [M_s, M_d]$  изомаха волны сжатия располагается вне сердцевидной кривой III (см. рис. 2, б). Следовательно, отраженный разрыв может быть только скачком уплотнения. С увеличением  $J_1$  размеры сердцевидной кривой II, соответствующей отраженному скачку уплотнения, уменьшаются, а при  $J_1 > J_b$  линии II и III не имеют общих точек. Это означает, что при  $M > M_s$  и  $J_1 > J_b$  условия динамической совместности (1.6), (1.7) на тангенциальном разрыве 4 не выполняются. Область  $O_3$ , ограниченная кривыми 1 и 3 на рис. 4, соответствует значениям параметров, при которых система (3.2) не имеет решения.

Положение границы области  $O_3$  зависит от поведения функции  $J_1(J_3)$ , задаваемой системой (3.2). Как видно из рис. 2, б, в рассматриваемом диапазоне чисел Maxa любой

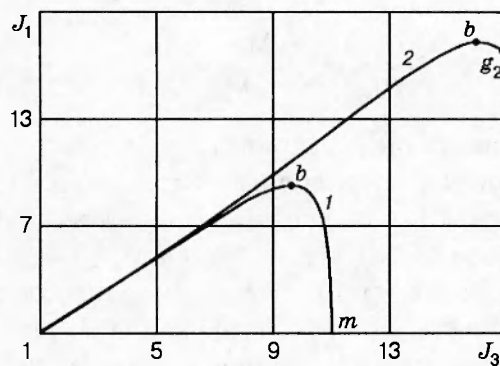


Рис. 5

интенсивности  $J_1 < J_b$  соответствуют две точки пересечения кривых II и III; при  $J_1 = J_b$  эти точки сливаются в одну.

Зависимость  $J_1(J_3)$  при фиксированном числе Maxa является немонотонной (кривая 1 на рис. 5), а максимум функции  $J_1(J_3)$  определяет предельное значение интенсивности  $J_b(M)$  волны сжатия, начиная с которого отсутствует решение задачи о распаде волны.

Так как связь  $J_1$  и  $J_3$  в (3.2) осуществляется неявно, то для нахождения интенсивности  $J_b$  целесообразно воспользоваться методом неопределенных коэффициентов Лагранжа. Функция Лагранжа  $F = J_1 + \lambda[\omega(M) - \omega(M_1(J_1)) - \beta_2^{(j)}(M_1(J_1), J_3/J_1) - \beta_3^{(j)}(M, J_3)]$  при фиксированном  $M$  зависит только от  $J_1, J_3, \lambda$  ( $\lambda$  — множитель Лагранжа), так как  $M_1$  явно выражается через интенсивность  $J_1$  этой волны (формула (1.4)).

Дифференцируя  $F$  по указанным переменным и приравнивая полученные выражения нулю, несложно получить следующую систему уравнений относительно  $J_b$ :

$$\omega(M) - \omega(M_1) - \beta_2^{(j)}(M_1, J_2) = \beta_3^{(j)}(M, J_3); \quad (3.5)$$

$$\frac{\partial \beta_2^{(j)}(M_1, J_2)}{\partial \Lambda_2} + \frac{\partial \beta_3^{(j)}(M, J_3)}{\partial \Lambda_3} = 0, \quad J_1 J_2 = J_3, \quad \mu = \mu_1 J_1^{1/\eta}. \quad (3.6)$$

Производные в (3.6) находятся дифференцированием (1.9) по  $J$ :

$$\frac{\partial \beta^{(j)}}{\partial \Lambda} = \frac{1}{2\gamma J} \sqrt{\frac{\varepsilon}{\chi(J+\varepsilon)}} \frac{\delta + \chi(1+\varepsilon)}{\mu(J+\varepsilon) - J(1+\varepsilon J)(1-\varepsilon)}, \quad (3.7)$$

$$\chi = \mu(1+\varepsilon) - (1+\varepsilon J), \quad \delta = \chi(J+\varepsilon) - \varepsilon(1+\varepsilon J)(J-1).$$

Теперь, зная  $J_b(M)$ , легко построить зависимость  $\beta_b(M)$  (кривая 3 на рис. 4), соответствующую границе области  $O_3$  отсутствия решения задачи.

При числе Maxa  $M_d$  изомахи волны сжатия I и скачка уплотнения III касаются в точке  $d$  (рис. 2,2), а при  $M > M_d$  они имеют две точки пересечения:  $g_2$  и  $g_3$  (рис. 2,д). В диапазоне  $J_1 \in [J_{g3}, J_{g2}]$  часть изомахи I находится внутри сердцевидной кривой III, а следовательно, при  $M > M_d$  вновь, как и при малых числах Maxa, появляется область  $O_4$ , в которой отражение происходит в виде волны разрежения.

Величины  $J_d(\gamma)$  и  $M_d(\gamma)$  находятся из условий

$$\beta_1^{(i)}(M_d, J_d) = \beta_3^{(j)}(M_d, J_d), \quad \frac{\partial \beta_1^{(i)}(M_d, J_d)}{\partial \Lambda_d} = \frac{\partial \beta_3^{(j)}(M_d, J_d)}{\partial \Lambda_d}. \quad (3.8)$$

Производная в правой части (3.8) определяется по формуле (3.7), а в левой рассчитывается по  $M_1$ :

$$\frac{\partial \beta^{(i)}}{\partial \Lambda} = \frac{\sqrt{M_1^2 - 1}}{\gamma M_1^2}. \quad (3.9)$$

Зависимость  $M_d(\gamma)$  приведена на рис. 3 (кривая 4).

Значения интенсивностей  $J_{g2}$  и  $J_{g3}$  волны сжатия, при которых распад волны происходит без отражения, определяются из решения уравнения (3.3); при этом интенсивность  $J_{g2}$  следует искать в диапазоне  $[J_d, J_b(M)]$ , а значение  $J_{g3}$  — в диапазоне  $[1, J_d]$ .

Значение  $J_{g3} = 1$  реализуется при  $M = M_{F_2}$  (2.1) и соответствует углу  $\beta_{g3} = 0$ . Это означает, что точка  $g_3$  существует только в узком диапазоне чисел Maxa ( $M \in [M_d, M_{F_2}]$ ), опускаясь с увеличением  $M$  вниз по сердцевидной кривой III до начала координат (рис. 2,е).

Вторая точка пересечения изомах I и III (точка  $g_2$ ) с ростом  $M$  поднимается вверх по кривой I и приближается к точке  $b$ , соответствующей границе области отсутствия

решения (рис. 2,ж). При  $M = M_b$  точки  $b$  и  $g_2$  сливаются (рис. 2,з). Это приводит к тому, что при  $M > M_b$  отраженный разрыв может быть только волной разрежения (рис. 2,и).

Описанное поведение изомах на плоскости интенсивностей волн приводит к сужению области  $O_2$ , в которой распад волны сопровождается отраженным скачком уплотнения, и к ее исчезновению при  $M = M_b$ . Значение  $M_b$  определяется из системы (3.5), (3.6), в которой следует положить  $J_2 = 1$  (кривая 5 на рис. 3).

Как видно из рис. 2,и, при  $M > M_b$  точка  $g_2$  не исчезает, однако ее физический смысл меняется. Действительно, в диапазоне интенсивностей  $J_1 \in [1, J_{g2}]$  решение системы (3.1) существует и единственno. Однако, начиная с точки  $g_2$ , интенсивности  $J_1$  отвечают две точки пересечения кривых II и III (точки 2а и 2б). Указанная ситуация типична в теории интерференции ударных волн [4]. Обычно в таких случаях из двух решений выбирают то, которое соответствует более слабому скачку уплотнения (точка 2а).

При  $M > M_b$  меняется также тип отраженного разрыва в точке  $b$ , отвечающей границе отсутствия решения. В соответствии с этим изменится и система уравнений для нахождения зависимости  $J_b(M)$ .

Для определения системы уравнений, аналогичной (3.5), (3.6), необходимо рассмотреть поведение функции  $J_1(J_3)$ , задаваемой уравнениями (3.1). Как и в случае скачка уплотнения, эта функция немонотонна (кривая 2 на рис. 5), а точка максимума отвечает искомой границе отсутствия решения. Исследование функции  $J_1(J_3)$  на экстремум позволяет записать систему уравнений для определения зависимости  $J_b(M)$  в случае  $M > M_b$ :

$$\omega(M) - 2\omega(M_1) + \omega(M_2) = \beta_3^{(j)}(M, J_3); \quad (3.10)$$

$$\frac{\partial \beta_2^{(i)}(M_1, J_2)}{\partial \Lambda_2} + \frac{\partial \beta_3^{(j)}(M, J_3)}{\partial \Lambda_3} = 0, \quad J_1 J_2 = J_3, \quad \mu = \mu_1 J_1^{1/\eta}, \quad \mu_2 = \mu J_3^{-1/\eta}. \quad (3.11)$$

Производные в (3.10), (3.11) рассчитываются по формулам (3.7) и (3.9) для  $j$  и  $i$  соответственно.

С дальнейшим увеличением числа Маха описанная схема распада волны сжатия принципиально не меняется.

**4.** Значение  $\gamma$  существенно влияет на особые числа Маха, а следовательно, и на границы характерных областей решения задачи.

Поскольку значение  $M_s$  (3.4) от  $\gamma$  практически не зависит (кривая 3 на рис. 3) и с точностью до второго знака равно 1,50 во всем диапазоне  $\gamma \in (1,2]$ , то начало области отсутствия решения задачи слабо зависит от  $\gamma$ .

В отличие от слабо убывающей монотонной зависимости  $M_{F_1}(\gamma)$  (кривая 1 на рис. 3), функция  $M_{F_2}(\gamma)$  (кривая 2) стремится к бесконечности при  $\gamma \rightarrow 5/3$ . В диапазоне  $\gamma \in [5/3, 2]$  при любых  $M > M_d$  отраженный разрыв может быть как волной разрежения, так и скачком уплотнения.

В свою очередь, функция  $M_d(\gamma)$  (кривая 4 на рис. 3) существует лишь при  $\gamma \in [1,15; 2]$ . При  $\gamma < 1,15$  изомахи I и III на рис. 2 при любых числах Маха имеют не более одной точки пересечения.

Кривой 5 на рис. 3 отвечает зависимость  $M_b(\gamma)$ ; видно, что с ростом  $\gamma$  число Маха  $M = M_b$  монотонно возрастает, достигая наибольшего значения  $M_b = 6,844$  при  $\gamma = 2$ . Следовательно, принципиальных отличий в поведении  $M_b$  при различных  $\gamma$  нет.

Анализ рис. 2 показывает, что при малых числах Маха (рис. 2,а,б) отмеченная звездочкой граничная точка изомахи I, описываемая формулами (1.5), находится ниже вершины сердцевидной кривой III. С ростом  $M$  появляется диапазон интенсивностей волн сжатия, в котором статическое давление за волной сжатия превышает статическое давление за прямым скачком уплотнения (рис. 2,в-и). Следовательно, существует особое число

Маха  $M = M_m$ , при котором имеет место равенство  $J_* = J_m$ ; значение  $M_m$  находится как корень уравнения

$$\varepsilon \mu_m^\eta - (1 + \varepsilon) \mu_m + 1 = 0. \quad (4.1)$$

Аналитическое решение уравнения (4.1) существует, если  $\eta = N + 1$  ( $N = 1, 2, 3$ ). При  $N = 1$  ( $\gamma = 2$ )  $M_m = 2,646$ , при  $N = 2$  ( $\gamma = 3/2$ )  $M_m = 2,226$ , а при  $N = 3$  ( $\gamma = 4/3$ ) уравнение (4.1) является кубическим и имеет корень  $M_m = 2,102$ . Численное решение (4.1) для  $\gamma = 1,4$  дает  $M_m = 2,151$ .

5. Максимальный угол поворота потока  $\beta_m^{(i)}$  в центрированной волне сжатия без учета ударно-волнового взаимодействия в сингулярной точке центрированной волны получается из соотношений (3.1), (3.2), в которых следует положить  $M \rightarrow \infty$ :

$$\beta_m^{(i)} = \frac{\pi}{2} \frac{1 - \sqrt{\varepsilon}}{\sqrt{\varepsilon}} \quad (5.1)$$

( $\beta_m^{(i)} = 130,45^\circ$  для  $\gamma = 1,4$ ).

Указанный угол в несколько раз превышает максимальный угол поворота потока на скачке уплотнения  $\beta_m^{(j)}$  [4]:

$$\beta_m^{(j)} = \operatorname{arctg} \frac{1 - \varepsilon}{2\sqrt{\varepsilon}} \quad (5.2)$$

( $\beta_m^{(j)} = 45,58^\circ$  для  $\gamma = 1,4$ ). Кроме того, значение  $\beta_m^{(i)}$  неограниченно возрастает с уменьшением  $\gamma$ , что противоречит физическому смыслу задачи.

Учет ударно-волнового взаимодействия в сингулярной точке волны накладывает существенное ограничение на  $\beta_m^{(i)}$  в изоэнтропной волне сжатия: предельный угол определяется как максимум функции  $\beta_b(M)$ , который достигается при  $M = M_a$  (точка  $a$  на кривой 3 рис. 4). Особое число Маха  $M_a$  определяется из анализа на экстремум функции  $\beta_b(M)$  и зависит только от  $\gamma$ . Из рис. 3 (кривая 6) видно, что при любых  $\gamma$  значение  $M_a$  конечно, т. е.  $\beta_b(\infty) < \beta_b(M_a)$ . При этом в диапазоне  $\gamma \in (1; 1,82]$  максимуму угла  $\beta_b(M)$  соответствует отраженная волна разрежения ( $M_a > M_b$ ), а при  $\gamma \in [1,82; 2]$  максимум угла поворота потока реализуется в системе с отраженным скачком уплотнения.

Из проведенных расчетов следует, что, в отличие от угла  $\beta_m^{(i)}$  (5.1), угол  $\beta_a = \beta_b(M_a)$  конечен для любого  $\gamma \in (1,2]$ : функция  $\beta_a(\gamma)$  монотонно уменьшается от  $\beta_a = 53,135^\circ$  ( $\gamma \rightarrow 1$ ) до  $\beta_a = 28,308^\circ$  ( $\gamma = 2$ ). Кроме того, угол  $\beta_a$  при любых  $\gamma$  меньше максимального угла поворота потока  $\beta_m^{(i)}$  (5.2) на скачке уплотнения.

Следует также отметить, что максимальный суммарный угол поворота потока в системе, совпадающей с максимальным углом поворота потока на результирующем скачке уплотнения 3 (см. рис. 1), монотонно увеличивается с ростом  $M$  и стремится к  $\beta_m^{(j)}$  (5.2) при  $M \rightarrow \infty$ .

6. Как показано в [5, 6], изоэнтропная волна сжатия используется для создания оптимальных ударно-волновых систем. На практике газодинамическое проектирование таких систем стараются осуществлять так, чтобы волна была центрированной [5], а поток за ней обладал экстремальными свойствами.

Одной из важнейших и часто встречающихся на практике задач управления сверхзвуковым потоком является торможение потока до дозвуковых скоростей с минимальными потерями полного давления. Очевидное решение такой задачи — создание изоэнтропной волны сжатия с интенсивностью  $J_*(M)$  (1.5), которая без потерь тормозит поток до скорости, равной скорости звука. Однако учет распада волны в сингулярной точке показывает, что при любых числах Маха течение за отраженным разрывом 2 (см. рис. 1) сверхзвуковое

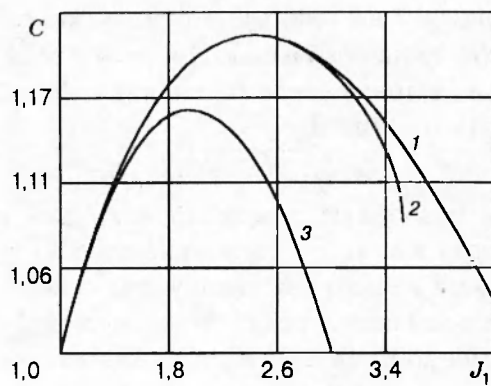


Рис. 6

при всех значениях интенсивности изоэнтропной волны, лежащих в области существования решения.

Действительно, в диапазоне  $M \in [1, M_s]$  сверхзвуковой поток, тормозящийся до скорости звука в волне сжатия с интенсивностью  $J_*$ , вновь разгоняется в отраженной волне разрежения. В случае  $M > M_s$ , значение интенсивности  $J_*$  лежит в области  $O_3$  отсутствия решения задачи (см. рис. 4). За волнами с интенсивностями из диапазона  $[1, J_b]$  области существования решения задачи течение сверхзвуковое как за самой волной, так и за отраженным разрывом. Следовательно, одиночная центрированная волна сжатия затормозить поток до дозвуковой скорости не может. Поэтому для решения поставленной задачи надо либо использовать оптимальные системы, состоящие только из скачков уплотнения [6], либо формировать за изоэнтропной волной дополнительный скачок с дозвуковым течением за ним.

В [6] доказывается, что при  $M > \sqrt{2}$  изоэнтропную волну сжатия можно эффективно использовать для максимального восстановления скоростного напора. На рис. 6 приведено отношение скоростного напора до и за волной (кривая 1, построенная для  $M = 2$ ), рассчитываемое по формуле [1]

$$C \equiv \frac{\rho_1 v_1^2}{\rho v^2} = \frac{\mu J_1^{1/\gamma} - (1 - \varepsilon) J_1}{\mu - (1 - \varepsilon)}.$$

Из рис. 6 видно, что функция  $C(J_1)$  достигает максимума при  $J_1 = J_g$ :

$$J_g = \left( \frac{\mu}{1 + \varepsilon} \right)^{\eta}.$$

Следовательно, изоэнтропная волна с интенсивностью  $J_g$  является оптимальной для скоростного напора.

Проведенные расчеты показали, что учет взаимодействия в сингулярной точке в диапазоне  $M \in [\sqrt{2}; 2,6]$  практически не влияет на положение максимума (кривая 2 на рис. 6). Однако с ростом  $M$  соответствующая максимуму интенсивность постепенно приближается к границе области отсутствия решения и при  $M > 2,6$  исчезает. Это приводит к тому, что при больших значениях  $M$  отношение скоростных напоров монотонно увеличивается с ростом  $J$  и достигает наибольшего значения при  $J = J_b$ , т. е. на границе отсутствия решения.

В отличие от отношения скоростных напоров в области под тангенциальным разрывом, отношение скоростного напора на результирующем скачке ведет себя немонотонно

при любых значениях  $M$  (кривая 3 на рис. 6), достигая максимума при некоторой интенсивности  $J_d$  волны сжатия. Расчеты показывают, что эта величина может быть аппроксимирована с высокой точностью выражением интенсивности одиночного оптимального для скоростного напора скачка уплотнения [6]

$$J_d \approx (\sqrt{\mu(1 + \varepsilon)} - 1)/\varepsilon.$$

Полученные результаты позволяют рекомендовать для восстановления скоростного напора центрированную волну сжатия с интенсивностью  $J_1 = J_d$ : при такой интенсивности значение скоростного напора велико как сверху, так и снизу тангенциального разрыва. Дальнейшее увеличение  $J_1$ , способствуя росту исследуемой функции за отраженным разрывом 2 (см. рис. 1), одновременно приводит к уменьшению скоростного напора за скачком уплотнения 3, что ухудшает интегральные характеристики скоростного напора в потоке за точкой распада разрыва.

Работа выполнена при финансовой поддержке Фонда по исследованиям в области фундаментального естествознания (код проекта 95-0-4.2-171).

## ЛИТЕРАТУРА

1. Ландау Л. Д., Лифшиц Е. М. Гидродинамика. М.: Наука, 1988.
2. Росляков Г. С. Взаимодействие плоских скачков одного направления // Численные методы в газовой динамике. М.: Изд-во Моск. ун-та, 1965. С. 28–51.
3. Росляков Г. С., Старых А. Л., Усков В. Н. Интерференция стационарных скачков уплотнения одного направления // Изв. АН СССР. МЖГ. 1985. № 4. С. 143–152.
4. Адрианов А. Л., Старых А. Л., Усков В. Н. Интерференция стационарных газодинамических разрывов. Новосибирск: Сиб. изд. фирма ВО «Наука», 1995.
5. Киреев В. И., Войновский А. С. Численное моделирование газодинамических течений. М.: Изд-во МАИ, 1991.
6. Омельченко А. В., Усков В. Н. Оптимальные ударно-волновые системы // Изв. РАН. МЖГ. 1995. № 6. С. 118–126.
7. Черный Г. Г. Течения газа с большой сверхзвуковой скоростью. М.: Физматгиз, 1959.

*Поступила в редакцию 27/IX 1996 г.*